

无 线 电 設 备 的 回 路 零 件

苏联 B. A. 沃尔柯夫著

徐秉鐸 楊國雄 陳堯熙
譯

黃香蘋 黃順吉 周錫齡

馮 秉 錄 校

人 民 曲 版 社



В. А. ВОЛГОВ

ДЕТАЛИ КОНТУРОВ РАДИОАППАРАТУРЫ

ГОСЭНЕРГОИЗДАТ 1954

内 容 提 要

本書論述在無線電接收机，小功率無線電發射机和無線電測量仪器中所应用到的長波，中波，短波和超短波迴路的設計和結構。本書闡明了迴路理論的許多個別問題，給出了主要参数的求法，并研討了电容器、电感綫圈、諧振綫和空腔諧振器。此外，还列入一些結構圖。

本書可供無線電工業和科學研究機構中在無線電仪器設計和結構方面工作的工程師技術工作人員們之用，也可供無線電專業的高等学校和中等專科學校的学生們和熟練的無線電爱好者們之用。

無 線 電 設 备 的 回 路 零 件

著 者：苏联 B. A. 沃 尔 柯 夫

譯 者：徐秉淳 楊國雄 陈堯熙

黃香馥 黃順吉 周錫齡

校 者：馮 秉 錦

出 版 者：人 民 邮 电 出 版 社
北京東四区 6条胡同13号

印 刷 者：人 民 邮 电 出 版 社 南京印刷厂
南京太平路戶部街15号

發 行 者：新 華 書 店

書號：无128 1957年1月南京第一版第一次印刷 1—4,900 册
850×1168 1/32 164頁印張 $10\frac{8}{32}$ 印刷字数246,000字 定价(10)1.70元

★北京市書刊出版營業許可証出字第〇四八号★

校 閱 者 序

本書專門闡述無線機件中，特別是無線電接收機中所用到的各种回路的設計和結構。

本書的需要是由蘇聯共產黨第19次黨代表大會所提出的關於繼續在超短波方面擴大無線電通信和無線電廣播，以及關於迅速增長無線機件生產這兩個任務提出的。

書中闡明了有關電容器、電感線圈、寬波段回路、諧振線和空腔諧振器的設計問題以及結構上的製造問題。書中列入一些典型的計算實例並給出了大量的各種各樣的結構。本書約有一半的篇幅是用來論述有關超短波回路的設計問題和結構上的製造問題。

儘管回路的設計和結構上的製造有著巨大的意義，到目前為止在技術文獻中還沒有關於這些問題的統一的、系統化的、指導性的書籍。

本書可供廣大的讀者——工廠、設計局和科學研究機構的設計師們，實驗員們以及其他工程技術工作人員們，和高等學校及中等技術學校的學生們之用。本書對熟練的無線電愛好者們也有所裨益。

無疑的，本書將幫助各種專家們掌握回路的設計，因而它將促使我們的無線機件的進一步改善。

B.H.西福羅夫

301152

作者的話

具有歷史意義的蘇聯共產黨第19次黨代表大會在學者們和工程師們的面前提出了一系列新的任務，就是要繼續掌握超短波波段，提高無線電機件生產的質量及擴大生產的規模。

提高無線電機件的質量指標這一任務的解決是和振盪回路的研究問題息息相關的。蘇聯學者們有許多著作是探討有關振盪回路元件的設計問題的，其中必須指出的有：A.A.科洛索夫（A.A.Колосов），B.T.雷恩涅（B.T.Ренне）和П.Г.潘諾夫（П.Г.Панов）關於電感線圈和電容器設計方面的著作；Г.Т.希齊科夫（Г.Т.Шитиков）和С.С.阿爾先諾夫（С.С.Аршинов）的有關線圈和電容器的穩定度問題的著作；Г.В.奇孫柯（Г.В.Кисуничко）和М.С.聶孟（М.С.Нейман）關於空腔諧振器和諧振線方面的著作以及許多其他的著作。這些作品都是散見在各種不同的書本和雜誌上而沒有加以系統化和分析整理，這樣就使廣大讀者在實際應用它們時感到困難。有關這些問題的專著，例如A.A.科洛索夫的“無線電接收機的線圈”和С.И.哥諾羅夫斯基（С.И.Гоноровский）的“無線電發射機LCR的設計”都是遠在20年前出版的，這些書差不多都成了圖書文獻上的珍本。此外，這些書完全沒有涉及有關超短波回路的設計和結構問題。因此，在許多場合下，回路的設計就或者用無線電愛好者的方法，或者根據實驗數據來進行。這就使設計不準確，並且不可能考慮到一系列決定回路性質的情況。

本書的任務就是想來部分地填補現存的這一個空白點。書內敍述了所有波段（大約從100千赫到10,000兆赫）的無線電收信機，小

功率无线电發信机，測量用机件內所采用的振盪回路的設計問題和一般的結構問題。关于各种各样元件的詳細的結構以及这些元件的制造工藝問題，在本書中只是簡單地說了一下，因为这些問題在 *B.B. 別斯特淮可夫 (B.B. Пестржков)* 和 *Д.Д. 薩契科夫 (Д.Д. Сачков)* 的“无线电仪器部件及零件的結構”以及 *Ф.Е. 耶夫西也夫 (Ф.Е. Ефимов)* 和 *B.A. 茹可夫 (B.A. Жуков)* 的“无线电器材制造”兩書中已有足够詳細的討論）。欲深入地研究在本書中所沒有充分討論的某一个專門的問題，那就应查閱本書最后的参考文献目錄中所列举的書刊。

苏联科学院通信院士 *B.H. 西福罗夫*曾審閱和校訂手稿，作者謹向他表示謝忱，作者并向曾为本書寫下关于溫度补偿一節的技术科学副博士 *C.C. 阿尔先諾夫*致謝。

作者也向在繪制插圖和准备付印手稿方面做了許多工作的 *M.Ф. 伏尔柯娃*致謝。

B.A.沃爾柯夫

目 錄

校閱者序

作者的話

| | | |
|----------------------|-------|--------|
| 第一 章 振盪回路及其参数 | | (1) |
| 第一 節 引言 | | (1) |
| 第二 節 回路的主要参数 | | (2) |
| 第三 節 損耗 | | (6) |
| 第四 節 穩定度 | | (16) |
| 第五 節 溫度补偿 | | (21) |
| 第六 節 回路的設計 | | (26) |
| 第二 章 电容器和电阻 | | (30) |
| 第一 節 电容器的一般性質 | | (30) |
| 第二 節 固定电容器 | | (37) |
| 第三 節 可变电容器 | | (51) |
| 第四 節 可变电容器的計算 | | (54) |
| 第五 節 穩定的电容器 | | (65) |
| 第六 節 可变电容器的結構 | | (70) |
| 第七 節 微調电容器 | | (80) |
| 第八 節 电阻 | | (83) |
| 第三 章 电感綫圈 | | (89) |
| 第一 節 电感綫圈的一般性質 | | (89) |
| 第二 節 电感綫圈繞法的种类 | | (91) |
| 第三 節 線圈尺寸的計算 | | (98) |

| | |
|--------------------------|----------------|
| 第四節、線圈的電感量和匝數的計算..... | (100) |
| 第五節、電感線圈的固有電容..... | (110) |
| 第六節、電感線圈的品質因數..... | (113) |
| 第七節、互感量和耦合系數的計算..... | (127) |
| 第八節、屏蔽線圈..... | (132) |
| 第九節、分段線圈..... | (138) |
| 第十節、鐵心線圈..... | (139) |
| 第十一節、變感器..... | (155) |
| 第十二節、穩定的線圈..... | (163) |
| 第十三節、高頻扼流圈..... | (168) |
| 第十四節、電感線圈的結構..... | (172) |
| 第四章、過渡型寬波段回路..... | (184) |
| 第一節、寬波段回路的一般知識..... | (184) |
| 第二節、接觸式回路..... | (185) |
| 第三節、非接觸式回路..... | (187) |
| 第四節、非接觸式回路級的結構..... | (194) |
| 第五節、圓柱型回路..... | (198) |
| 第五章、諧振線..... | (202) |
| 第一節、諧振線的一般特性..... | (202) |
| 第二節、諧振線的等效參數..... | (212) |
| 第三節、諧振線的參數的計算..... | (224) |
| 第四節、諧振線構造的一般問題..... | (237) |
| 第五節、諧振線的結構元件..... | (249) |
| 第六節、工作在諧振線上的級的結構..... | (268) |
| 第六章、空腔諧振器..... | (279) |
| 第一節、空腔諧振器的一般性質..... | (279) |

| | |
|---------------------|---------|
| 第二節 空腔諧振器的計算..... | (283) |
| 第三節 空腔諧振器元件的構造..... | (293) |
| 第四節 空腔諧振器的結構..... | (297) |
| 参考文献索引..... | (301) |

附 錄

| | |
|------------------------|---------|
| 表 I. 預定電容量的等級..... | (311) |
| 表 II. 預定電阻的等級..... | (312) |
| 表 III. 金屬和合金的主要數據..... | (313) |
| 表 IV. 高頻電介質的数据..... | (314) |
| 表 V. 漆清材料和塗敷材料..... | (318) |

索 引

第一章

振盪回路及其参数

第一節 引言

电的振盪回路就是由电容、电感和电阻所組成的电路。在此电路中，电流和电压能產生周期性的振盪。

振盪回路是无线电接收机，發射机和許多其他类型无线电元件的最重要的附件。无线电元件的电的、結構的和使用的指标在很大的程度上决定于所采用的回路。

按照装置的情况，回路可分为集中参数的回路和分佈参数的回路。集中参数的回路是电感线圈，电容器和电阻串联所組成的。电感线圈，电容器和电阻称为振盪回路的元件。

按照外加电动势的连接方法，回路可分为并联回路和串联回路。在并联回路中外加电动势的电源和回路的元件相并联；而在串联回路中外加电动势的电源则是和回路元件相串联（圖1—1）。

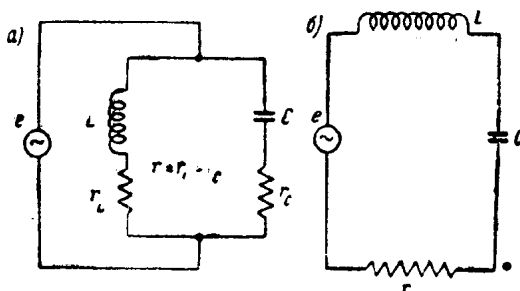


圖 1—1 週路的迴路圖：
a—并联回路； b—串联回路

以下將說明串联回路的某些特性和并联回路有顯著的區別。既并联而又串联的回路在实际中有广泛的应用。

集中参数的回路用于長波、中波、短波和米波的无綫電設備的射頻电路中。这种回路的理論在A.I.貝爾格院士, B.P.阿謝也夫院士和其他苏联学者的著作中已經有詳細的闡述。

分佈参数的回路是由導線系統所構成，沿着这些導線分佈有电感、电容和电阻。沿着这些導線可能產生駐波电流和电压，并產生諧振現象。称为諧振綫的短截綫段，以及由所謂空腔諧振器的封閉金屬壳所形成的諧振系統，是分佈参数回路的例子。这种类型的回路被采用于厘米波，分米波以及部分米波的无綫電設備的各种高頻級中。

为了簡化无綫電技术上的計算起見，一般都以在一定範圍內其性質与分佈参数回路相等效的集中参数回路來代替分佈参数的回路。等效回路的参数称为等效参数。等效参数的理論是由M.C.聶孟教授研究出來的。

第二節 回路的主要参数

在无綫電技术的理論課中將詳細地研究振盪回路的特性，这里我們只列出为以后的敘述所必須的一些基本原理。

如所周知，由电感 L 、电容 C 及电阻 r 所組成的振盪回路，在无綫電技术方面可以用以下四个主要参数來表征：諧振频率（固有振盪频率），特性阻抗，品質因数以及当諧振时在外加电动势兩点之間回路所具有的阻抗。

諧振频率 任何型式回路的諧振频率 f_0 由下列条件來决定：

$$\omega_0 L = \frac{1}{\omega_0 C},$$

由此可得

$$f_0 = \frac{1}{2\pi\sqrt{LC}}; \quad (1-1)$$

相应的波長等子：

$$\lambda_0 = 2\pi c \sqrt{LC}.$$

在此式中 L 以亨表示； C 以法表示； f 以赫表示； λ 以米表示，而光速 $c = 3 \times 10^8$ 米/秒。

特性阻抗 諧振時，回路元件的電抗稱為回路的特性阻抗 ρ ：

$$\rho = \omega_0 L = \frac{1}{\omega_0 C} = \sqrt{\frac{L}{C}}. \quad (1-2)$$

如果電感以亨表示，電容以法表示，則特性阻抗以歐表示。

电阻 回路电阻 r 由本身的和反射的电阻所組成。

回路本身的电阻取决于線圈和电容器中的損耗；反射电阻則取决于不同的負載，例如电子管的輸入和輸出阻抗，特殊的分流器，以及有功的負載。

品質因数 回路的品質因数 Q 是由 2π 乘回路儲存的全部振盪能量 W 和一个周期內的損耗 P_n 的值來決定：

$$Q = 2\pi \frac{W}{P_n}. \quad (1-3)$$

在集中参数回路中，品質因数表示當諧振時，在电感上（或电容上）的电压比和回路元件相串联的外加电动势大多少倍。品質因数之值可以用特性阻抗 ρ 和电阻 r 的比值來表示：

$$Q = \frac{\omega_0 L}{r} = \frac{1}{\omega_0 C r}. \quad (1-4)$$

在某些情况下宜用倒数值：

$$\delta = \frac{1}{Q} , \quad (1-5)$$

δ 称為回路的衰減。

回路品質因數（或者衰減）是回路的重要參數，因為它決定回路的選擇性，通頻帶，電壓傳輸，效率，與其他元件耦合的大小等等。

諧振阻抗 當諧振時外加電動勢兩端間的回路阻抗跟回路的型式有很大的關係，因此我們來討論有關并聯的和串聯的回路的阻抗問題。

諧振時，**并聯**回路總的阻抗是純電阻而且達到最大值（如果 $Q \gg 1$ ）。不在諧振頻率上時，諧振阻抗減少並且具有電抗的性質：對較低的頻率來說是電感性的，而對較高的頻率來說是電容性的。

在諧振時并联回路的阻抗稱為并聯諧振阻抗或等效阻抗；其大小由下式來決定

$$R_s = \frac{\rho^2}{r} = \rho Q , \quad (1-6)$$

其中 ρ ， r 及 R_s 的單位為歐。

實際上往往採用所謂回路不完全的接入，在這個情況下，外電路不是和全部回路連接，而僅僅和它的某部分連接。圖 1—2 中繪出了三種常用的不完全接入的線路；在圖 1—2，a 的線路中，外電

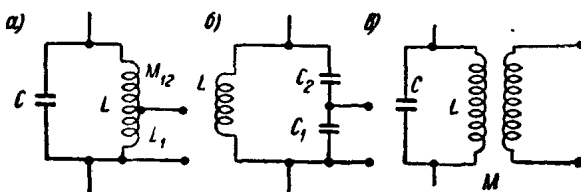


圖 1—2 不完全接入的線路

路与电感的一部分連接；在圖 1—2,6 的線路中，外电路与电容的一部分連接，在圖 1—2,6 的線路中，外电路是借助于变压器來联接的。

在无线电發送设备技术中通常称全部接入的回路为第一类型的回路；按照圖 1—2,a 線路接成的不完全接入的回路称为第二类型的回路，而按照圖 1—2,6 線路接成的不完全接入的回路称为第三类型的回路。

我們用接入系数 p 来表示不完全接入的特性，此系数代表回路輸入端的电压和回路最大电压的比值。对于圖 1—2,a 中的線路

$$p = \frac{L_1 + M_{12}}{L}; \quad (1-7)$$

对于圖 1—2, e 中的線路

$$p = \frac{C}{C_1}; \quad (1-8)$$

对于圖 1—2, 6 中的線路

$$p = \frac{M}{L}. \quad (1-9)$$

在这些表示式中，

I. 是回路的总电感；

C 是回路的总电容；

L_1 和 C_1 是与外电路并联的电感或电容；

M_{12} 是回路线圈公共部分间的互感；

M 是线圈间的互感。

不完全接入的回路的諧振阻抗等于：

$$R_s = \frac{p^2 \rho^2}{r} = p^2 \rho Q_0. \quad (1-10)$$

改变 p 之值，可以改变諧振阻抗，所以不完全接入法被广泛地用來選擇最佳的耦合。

按照線路 a 和 b 接成的不完全接入的同路中也会發生串联諧振，在串联諧振点附近对同路总阻抗的大小和性質將產生影响。

諧振时串联同路的阻抗同样也是純阻，但其值为最小，等于同路的电阻 r 。此电阻称为串联諧振电阻。

頻率不是諧振頻率时，串联同路的阻抗將增加并且具有电抗的性質：对較低的頻率來說是电容性的，而对較高的頻率來說則是电感性的。

第三節 損 耗

同路电阻 r 是由对于高頻电流的導線电阻，介質損耗所引入的电阻，屏蔽、鐵心和位于同路附近的其他元件所引入的电阻，輻射电阻以及各种負載所引入的电阻所組成。

讓我們來研究一下所列举的总电阻的这些項目，并决定各項对同路参数的影响。

導線电阻 如所周知，由于趋膚效应的作用直導線对交流电的电阻大于对直流电的电阻（即所謂歐姆电阻）。这个現象的本質是在于：当交变电流沿着導線通过时建立了磁場，在这个磁場的影响下，導線內產生了感应电流。这个电流和原來的电流相互作用引起沿導線截面电流的重新分配，結果使得截面的外部电流密度增加，而内部的电流密度下降。在射頻时，導線內層的电流几乎等于零。

讓我們來研究圓截面的直導線的趋膚效应。我們引用 A·A·科洛索夫所提出的解釋，这解釋的特点是非常明顯，尽管还不是十分嚴格的。

圓截面直導線（圖 1—3）原來的交变电流 i_1 的瞬間方向用箭

头來表示。由这个电流所產生的磁力綫 H_1 具有同心圓的形狀，而且是順時針的方向。这个透入導線的磁場在導線中產生了感应电流 i_2 ，此电流建立了二次磁場 H_2 ，其方向与原來的磁場相反。只看導線截面的右边部分，可以看出这个磁場的方向是自下向上的。

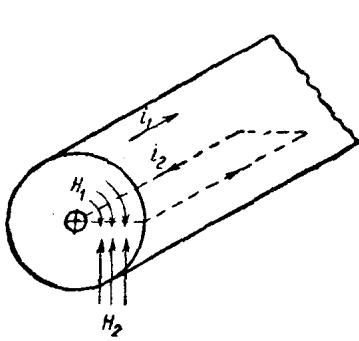
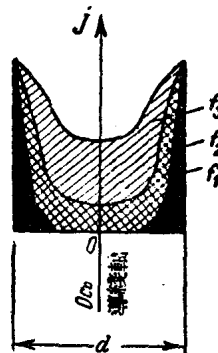


圖 1-3 趕膚效應的發生

圖 1-4 對於各種不同頻率的電流
沿導線截面的電流密度分佈曲線：
 $f_1 > f_2 > f_3$

沿着二次磁場 H_2 的力綫方向可以確定激起此磁場的电流 i_2 的環行路徑和方向。這個方向如圖中的虛線所示。把導線截面各部分中电流 i_2 的方向和原來电流 i_1 的方向相比較，可以斷定：在導線的外層這些电流的方向相同，而在內部這些电流的方向相反。因此導線外層的电流密度增加，而內部的电流密度下降（圖 1-4）。

电流的不均匀的分佈縮小了導線有效的（即通過电流的）截面，亦即增加了導線的电阻。導線對高頻电流的电阻可以比其歐姆电阻大好幾倍。

如果引用所謂等效層和电流透入深度的概念，則對於交變电流的導線电阻的計算將大大地簡化。

讓我們假設，所有电流均勻分佈在接近導線外表面的某一層上；在這一層的截面中电流密度等於表面电流密度，因此這一層的

截面将等于导线的全部有效截面，并决定导线对交变电流的电阻。这一层的厚度 x_s 称为电流的透入深度。对于非磁性材料来说，电流透入深度之值按照下面的公式来决定：

$$x_s = \frac{1}{2} \sqrt{\frac{\rho}{f}} \quad (1-11)$$

如果导线的电阻率的单位为欧·毫米²/米，而频率为兆赫，则式中 x_s 的单位将为毫米。

对于技术上的计算来说，公式(1-11)取下面的形式较为方便：

$$x_s = \frac{e}{\sqrt{f}} \quad (1-12)$$

其中

$$e = \frac{1}{2} \sqrt{\rho} \quad .$$

如果 f 为兆赫； x_s 之值结果也是毫米；系数 e 之值列于表1-1中。在磁性材料中电流透入深度要小 $\sqrt{\mu}$ 倍。

系数 e 和 g 之值

表 1-1

| 材 料 | e | g |
|-----------|-----------|---------------------------|
| 银..... | 0.064 | 2.54×10^{-4} |
| 铜..... | 0.066 | 2.65×10^{-4} |
| 金..... | 0.077 | 3.08×10^{-4} |
| 铝..... | 0.084 | 3.34×10^{-4} |
| 黄铜* | 0.07—0.12 | $2.83—4.9 \times 10^{-4}$ |

* 较大的系数值对应于锌的含量较多的铜的等级。

导线对于交变电流的电阻等于：

$$r = \rho \frac{l}{q_s}.$$

其中 q_s 是等效層的截面，等于电流透入深度和截面周長的乘積，而 l 是導線的長度。

計算導線表面电阻时，宜用表面电阻率的概念。表面电阻率表示由已知導体制成的每邊為 1 厘米的正方形面積對某已知頻率电流的电阻：

$$R_s = \frac{\rho}{q_s} = g \sqrt{f}. \quad (1-13)$$

其中 R_s 的單位為歐，而 f 為兆赫。系数 $g = 20\sqrt{\rho} \times 10^{-4}$ 之值如表 1—1 所示。

長度為 l 與寬度為 b 的導電表面的电阻等於：

$$r_s = R_s \frac{l}{b}. \quad (1-14)$$

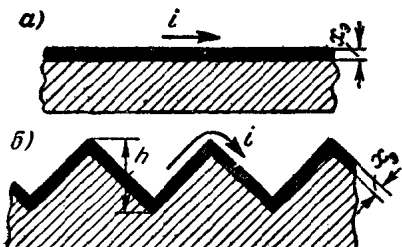


圖 1—5 不平的導電表面對高頻電流路徑長度的影響 ($x_s \ll h$)

在頻率很高時電流透入深度極小，只有千分之几毫米。因此由於機械加工或氧化的結果而呈現出導電表面的各種各樣的粗糙不平，將加長電流的路徑，因而使电阻增加。當不平的深度和透入深度可以比較時，以及當不平的方向垂直於電流通過的路徑時，电阻將特別大量地增加。在圖 1—5 中描述了在平整的表面 (a) 以及不平的表面 (b) 兩種情況下電流的路徑。測量證明，在一百兆赫的頻率時不平的表面可使表面电阻增加 50—100% 或更多一些。為了防止這種現象，導電的表面要精細地磨平並且鍍上一層銀，這樣可以使導電表面不易為導電不良的氧化物所遮蓋。為了保持銀層不